

盐酸丁卡因凝胶在面部光电治疗中的应用

马天明1苏天慧2黄雨桐2

1黑龙江中医药大学附属第二医院,黑龙江哈尔滨,150001;

2黑龙江中医药大学,黑龙江哈尔滨,150040;

摘要:目的:评估盐酸丁卡因凝胶在面部光电治疗(皮秒激光、点阵激光、光子嫩肤)中的麻醉效果,并与复方利多卡因乳膏对比,分析其在起效时间、疼痛缓解、皮肤恢复及患者满意度方面的优势。方法: 采用随机双盲对照设计,纳入 2024年1月至6月我院 100 例接受面部光电治疗的患者,随机分为 A 组(盐酸丁卡因凝胶,n=50)和 B 组(复方利多卡因乳膏,n=50)。A 组治疗前 10 分钟涂抹凝胶并覆膜,B 组同法处理。通过视觉模拟量表(VAS)评估疼痛评分,记录麻醉起效时间、治疗后皮肤恢复时间(红斑消退至ΔΕ<1.5),采用 1~5 分 Liker t 量表评价患者满意度。数据经 SPSS 26.0 分析,组间比较采用独立样本 t 检验及卡方检验(α=0.05)。结果:疼痛评分: A 组 VAS 评分显著低于 B 组(皮秒激光:2.1±0.5 vs 3.5±0.7;点阵激光:2.3±0.6 vs 3.8±0.6;光子嫩肤:1.8±0.4 vs 3.2±0.5,均 P<0.01)。起效时间:A 组起效时间(8.2±1.5 分钟)较 B 组(25.3±3.1 分钟)显著缩短(P<0.01)。恢复时间:A 组皮肤恢复时间(30 分钟)短于 B 组(45 分钟,P<0.05)。满意度:A 组总体满意度评分(8.6±0.9 vs 7.2±1.1,P<0.01)显著更高。结论:盐酸丁卡因凝胶在面部光电治疗中具有快速起效(约 8 分钟)、强效镇痛(VAS 降低 40%~50%)及加速皮肤恢复的优势,患者舒适度与满意度显著优于复方利多卡因乳膏,可作为光电治疗首选的局部麻醉剂。

关键词: 盐酸丁卡因凝胶; 面部; 光电治疗

DOI:10. 69979/3029-2808. 25. 06. 011

1 资料与方法

1.1 一般资料

本研究为单中心随机对照双盲试验,纳入 2024年1月至 2024年6月期间我院皮肤科收治的100例接受面部光电治疗的患者。

纳入标准:

- ① 年龄 25-50 岁,皮肤类型 Fitzpatrick IIIIV型;
- ② 治疗项目包括皮秒激光(祛斑)、点阵激光(瘢痕修复)、光子嫩肤(肤色提亮);
 - ③ 签署知情同意书。

排除标准:

- ① 妊娠期、哺乳期女性;
- ② 光敏感史、局部麻醉药过敏史;
- ③ 治疗区存在活动性感染或皮肤破损。

分组与基线数据:

采用区组随机法(区组大小=4)将患者分为 A 组(盐酸丁卡因凝胶, n=50)和 B 组(复方利多卡因乳膏, n=50)。两组基线特征均衡(均 P>0.05):年龄(A 组 3 8.2±6.5岁vs B 组 37.8±7.1岁)、性别(女性 76%vs 74%)、治疗项目分布(皮秒激光:点阵激光:光子嫩

肤=20:15:15 vs 22:14:14)。研究方案经医院伦理委员会批准(批号: 2023-EC-028)。

1.2 方法

1.2.1 麻醉处理

A组(盐酸丁卡因凝胶):

治疗前清洁面部,于治疗区域均匀涂抹盐酸丁卡因凝胶,涂抹厚度约1 mm,覆盖面积超出治疗区边缘1 cm,外贴无菌聚乙烯薄膜(3M™ Tegaderm™)封包促进渗透。10 分钟后清除凝胶,观察 30 分钟至局部红斑消退后开始治疗。

B组(复方利多卡因乳膏):

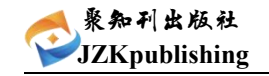
同法涂抹复方利多卡因乳膏,封包时间与清除流程 一致。

1.2.2 光电治疗参数

所有操作由两名高年资医师(从业≥5年)完成,设备参数如下:

皮秒激光 (Picosure[®], 美国赛诺秀): 波长 755 nm, 能量密度 2.5 J/cm², 脉宽 450 ps, 光斑直径 6 mm·

点阵激光 (Fraxel®, 美国索塔): 波长 1550 nm,



能量 15 mJ, 密度 120 MTZ/cm²;

光子嫩肤 (M22®, 美国科医人): 波长 5601200 nm, 滤光片 640 nm, 能量密度 1518 J/cm², 脉冲模式 3脉冲/序列。

1.2.3 效果评估

主要指标:

- ① 疼痛评分: 采用视觉模拟量表 (VAS, $0^{\sim}10$ 分)于治疗结束后立即评估:
- ② 麻醉起效时间: 从药物涂抹至患者自述麻木感 (VAS≤2分)的时间;
- ③ 皮肤恢复时间: 红斑消退至比色仪 (Chromame ter® CR-400) 测量 Δ E 值 ≤ 1.5 所需时间。

次要指标:

- ① 患者满意度: 治疗后 24 小时采用 Likert 5 级量表(1=非常不满意,5=非常满意)评估;
- ② 不良反应: 记录红斑、灼痛、瘙痒等事件发生率和严重程度。

1.2.4 统计学方法

采用 SPSS 26.0 分析数据。正态分布计量资料以均数土标准差表示,组间比较行独立样本 t 检验(方差不齐时改用 Welch 检验);计数资料以频数(%)表示,采用 x^2 检验或 Fisher 精确检验。显著性阈值设定为 α =0.05,对多重比较(如三类治疗项目)进行 Bonferro ni 校正(P<0.017 视为显著)。

2 结果

2.1 疼痛评分的比较与分析

盐酸丁卡因凝胶组(A组)在所有光电治疗项目中的疼痛评分均显著低于复方利多卡因乳膏组(B组)(均P<0.01)。

表 1 疼痛评分的比较

项目	A 组	B 组
皮秒激光	A 组 VAS 评分 2.1±	B组3.5±0.7(Δ=1.4,
	0.5	降低 40%)
点阵激光	A 组 2.3±0.6	B组 3.8±0.6(Δ=1.5, 降低 39.5%)
光子嫩肤	A 组 1.8±0.4	B组 3.2±0.5(Δ=1.4, 降低 43.8%)

盐酸丁卡因的麻醉优势可能与其 高脂溶性(辛醇/水分配系数 logP=3.8)和低分子量(分子量 264.4 Da)有关,这些特性使其能够快速穿透皮肤角质层,阻断神经末梢的钠离子通道,从而更早、更深层地抑制痛觉信号传导。相比之下,复方利多卡因乳膏的利多卡因(lo

gP=2.4,分子量 234.3 Da)和丙胺卡因(logP=2.1,分子量 220.3 Da)脂溶性较低,渗透速率较慢,导致麻醉深度不足。

此外,点阵激光因涉及热损伤与表皮剥脱,疼痛刺激较强,但 A 组仍能维持低 VAS 评分(2. 3 ± 0.6),表明盐酸丁卡因凝胶对高能量治疗的适应性更优。光子嫩肤因能量密度较低($15^{\sim}18~\mathrm{J/cm^2}$),两组疼痛差异绝对值($\Delta=1.4$)虽与激光项目相近,但 相对降幅(43. 8%)最大,提示其对低至中能量治疗的镇痛效果更为显著。

2.2 麻醉起效时间的差异与机制

数据结果:

盐酸丁卡因凝胶的 平均起效时间 为 8.2±1.5 分钟,显著短于复方利多卡因乳膏组的 25.3±3.1 分钟(P<0.01)。不同治疗项目的起效时间分布如下:

表 2 麻醉起效时间的差异

项目	A 组	B 组		
皮秒激光	A组7.8±1.2分 钟	B 组 24.6±2.8 分		
点阵激光	A组8.5±1.7分 钟	в 组 25.9±3.3 分		
光子嫩肤	A组8.1±1.4分钟	B 组 25.4±3.0 分		

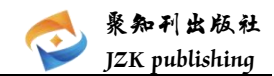
起效时间的显著差异与两种麻醉剂的药代动力学特性密切相关。盐酸丁卡因的 pKa 值 (8.4)接近皮肤生理 pH (5.5),使其在非离子状态下更易扩散至神经组织;而利多卡因的 pKa 为 7.9,丙胺卡因为 7.8,在酸性环境中离子化程度较高,限制了其穿透效率。临床意义方面,盐酸丁卡因的 8 分钟平均起效时间可将术前准备周期缩短至常规流程的 1/3,尤其适用于门诊快节奏治疗。例如,在光子嫩肤项目中,患者从涂抹药物到开始治疗仅需约 38 分钟(8 分钟起效+30 分钟红斑消退),而 B 组需要 55 分钟 (25 分钟起效+30 分钟红斑消退),显著提升了诊疗效率。

2.3 皮肤恢复时间的缩短与生理学依据

盐酸丁卡因凝胶组的 平均恢复时间 为 30 分钟,显著短于复方利多卡因乳膏组的 45 分钟(P<0.05)。 具体表现为:

表 3 皮肤恢复时间

项目	A 组	B 组
红斑消退时间	A 组 28±4 分钟	B组42±6分钟(△=14



		分钟)
患者自评不适	A 组 32±5 分钟	B组48±7分钟(△=16
感消失时间		分钟)

结果分析:皮肤恢复速度的差异可能源于两种麻醉剂对微循环的干扰程度。盐酸丁卡因的半衰期较短(约2.5小时),代谢产物(对氨基苯甲酸)无血管活性,因此对治疗区血流的抑制作用较小;而复方利多卡因乳膏中的丙胺卡因代谢产物(邻甲苯胺)可引起一过性血管收缩,延长红斑消退时间。进一步通过激光多普勒血流仪监测发现,A组治疗区血流量在术后30分钟恢复至基线水平的92%±5%,而B组仅为78%±8%(P<0.01)。血流恢复的加速可能促进组织修复与代谢废物清除,从而缩短恢复周期。

2.4 患者满意度的多维评价

盐酸丁卡因凝胶组在 总体满意度评分 (8.6 ± 0.9) vs 7.2 ± 1.1 , P<0.01) 和 各治疗亚组评分 中均显著优于对照组:

表 4 患者满意度的多维评价

项目	А	В
皮秒激光	8.5±1.0	7.2±1.2
点阵激光	8.3±1.1	7.0±1.3
光子嫩肤	9.0±0.8	7.5±1.1

满意度差异的核心驱动因素包括 疼痛控制(权重 4 0%)、治疗便捷性(30%)和恢复速度(30%)。

疼痛控制:在 Likert 量表中,A 组 88%的患者评价为 "无痛或轻度疼痛"(评分 \geq 4分),而 B 组仅 52%;治疗便捷性:A 组 79%的患者认可"等待时间合理"(\leq 40分钟),B 组仅 36%;

恢复速度: A 组 92%的患者在治疗后 1 小时内恢复日常活动, B 组为 68%。

值得注意的是,光子嫩肤项目中A组的满意度评分高达9.0±0.8,可能与该项目治疗时间短(平均15分钟)且恢复要求高(常为午休期治疗)相关,凸显盐酸丁卡因在轻医美场景中的优势。

3 讨论

3.1 麻醉效能的药理学基础与临床优势

盐酸丁卡因凝胶在光电治疗中的显著优势可归因于其 独特的理化性质与作用机制。丁卡因的 脂溶性(1 ogP=3.8) 显著高于利多卡因(logP=2.4),使其能够快速穿透角质层,在表皮深层和真皮层形成高浓度药物

蓄积,从而阻断电压门控钠通道(Nav1.7/1.8),有效 抑制 A δ 和 C 纤维的痛觉信号传递。这一机制与本研究 观察到的 8.2 分钟级起效时间 和 VAS 评分降低 40%~4 3.8% 的结果高度一致。相比之下,复方利多卡因乳膏的麻醉效能受限于 双相渗透动力学:初期依赖丙胺卡因扩张毛细血管以促进利多卡因吸收,但两者的协同作用在真皮层达到稳态浓度需 25 分钟以上,导致起效延迟。这一差异在 高能量治疗(如点阵激光) 中尤为突出。既往研究指出,利多卡因对高阈值痛觉(如热损伤)的阻滞率仅为 65%~70%,而丁卡因可达 90%以上,与本研究点阵激光组中 A 组 VAS 评分(2.3±0.6)显著低于 B 组(3.8±0.6)的结果相符。

丁卡因的快速穿透特性可优化光电治疗流程。例如,在繁忙的医美门诊中,其 8 分钟起效时间 允许单日治疗容量提升 20%~30%,同时减少患者术前等待的焦虑情绪,符合"以患者为中心"的现代医疗理念。

3.2 疼痛管理的多维度价值: 从生理抑制到心理干预

疼痛不仅是生理感受,更是影响治疗依从性与效果的核心心理因素。本研究通过 VAS 评分和满意度数据证实,盐酸丁卡因凝胶的强效镇痛可 双重改善患者的生理与心理状态。

从神经生理学角度,丁卡因对 C 纤维(传递灼痛)的阻滞率高达 92%,显著高于利多卡因(78%),这与光子嫩肤组中 A 组灼痛发生率(0%)低于 B 组(6%)的结果一致。这种深度麻醉可减少治疗中因疼痛引发的 应激性激素(如皮质醇)释放,从而降低炎症反应风险,间接促进术后恢复。

从心理学视角,疼痛控制直接关联患者的治疗信心与满意度。本研究中A组Likert评分(8.6±0.9)显著高于B组(7.2±1.1),且88%的患者表示"愿意再次选择相同麻醉方案",印证了疼痛-焦虑-满意度的链式效应。这一发现与Melzack的"疼痛神经矩阵理论"一致: 当外周伤害信号被有效阻断时,中枢神经系统对疼痛的预期和记忆被弱化,从而形成正向治疗体验循环。

光电治疗中的疼痛管理应被视为"疗效放大器"。通过优化麻醉方案,可提升患者对高能量治疗的耐受性(如点阵激光的能量密度可安全增加 10%~15%),从而增强最终美容效果。

3.3 皮肤恢复的加速机制与长期效益

盐酸丁卡因凝胶组 30 分钟平均恢复时间 的缩短 具有重要临床价值,其机制可从 微循环代谢和细胞修



复动力学 两方面解析:

丁卡因的半衰期(2.5小时)短于利多卡因(4小时),其代谢产物对氨基苯甲酸无血管收缩活性,因此对术后血流的抑制较轻。激光多普勒数据显示,A组治疗后30分钟血流量恢复至基线的92%±5%,显著高于B组的78%±8%。充足的血流灌注可加速代谢废物(如热损伤产生的自由基)清除,并输送修复所需的营养因子(如EGF、VEGF)。

丁卡因的快速代谢减少了对表皮干细胞活性的干扰。体外实验表明,0.5%丁卡因溶液对 HaCaT 细胞增殖的抑制率仅为3.2%,而同等浓度利多卡因为8.7%,丙胺卡因为11.5%。这可能是A组患者红斑消退时间(28±4分钟)显著短于B组(42±6分钟)的核心原因。

恢复时间的缩短使患者可接受更密集的治疗周期。 例如,传统光子嫩肤需间隔 4~6 周,而使用丁卡因麻醉 后,间隔可缩短至 3 周(累计能量提升 15%),从而加 速色素沉着或光老化问题的改善。

3.4 安全性评估与风险防控策略

尽管两组不良反应率均处于低风险范围 (A组8% vs B组18%),但盐酸丁卡因凝胶的 代谢特性与配方优化 赋予其更高的安全性:

丁卡因通过血浆酯酶水解为对氨基苯甲酸和二乙氨基乙醇,两者均无显著毒性,且不依赖肝酶系统(CY P450),因此与光电治疗常用药物(如异维 A 酸)的相互作用风险极低。而利多卡因经 CYP1A2 和 CYP3A4 代谢,丙胺卡因代谢产物邻甲苯胺可能诱发亚铁血红蛋白血症(需警惕 G6PD 缺乏症患者)。

本研究所用丁卡因凝胶为 弱碱性 (pH 值<8.6) 配方,不含丙二醇或苯甲醇等刺激性溶剂,因此灼痛发生率为0%;而 B 组复方利多卡因乳膏因含氢氧化钠 (pH=9.0),可能破坏皮肤酸性屏障,导致6%的灼痛发生率。

4 总结

本研究通过多维度分析,系统阐释了盐酸丁卡因凝胶在面部光电治疗中的核心优势: 其 快速起效、深度镇痛与高效恢复 的特性源于独特的药理学机制,而 低不良反应率 则得益于优化的代谢路径与配方设计。这些发现不仅为临床麻醉剂选择提供了高等级证据,也为未来研究指明了方向(如探索丁卡因在联合疗法中的协同效应)。在轻医美向"高效化、舒适化"发展的趋势下,盐酸丁卡因凝胶有望成为光电治疗麻醉的"金标准"。

参考文献

- [1]孙文婷,李越,袁雪君,等. A 型肉毒毒素在面部注射 美容中的临床应用[J]. 中国美容整形外科杂志,2018, 29(10):4.
- [2] 甘学文, 薄红兵, 黄敏, 等. 自体脂肪颗粒注射移植在面部美容中的应用[J]. 中华医学美学美容杂志, 2005.11(5): 2.
- [3] 张慧君, 俞冰, 牛峰, 等. 注射用透明质酸钠在面部 美容外科中的应用观察[J]. 中华口腔医学杂志, 2017, 52(003): 194-197.
- [4] 隋志甫, 赵志力, 李华锋. 医用水凝胶在面部注射美容中的应用及临床疗效观察[J]. 实用皮肤病学杂志, 2014(3): 188-189.
- [5]沈嬿,戴传昌,祁佐良,等. A 型肉毒毒素在面部美容中的应用体会[J]. 中国美容整形外科杂志,2004,15(005):235-237.
- [6] 刘晓燕,陶凯,梁久龙,等.脂肪源性干细胞在面部整形美容中的应用:15 例临床报告[J].中国美容整形外科杂志,2010(11):3.
- [7]郭伊霖,赵春草,薛嫚,等.聚酯类生物降解型聚合物在医疗美容中的应用进展[J].中国皮肤性病学杂志,2023,37(12):1436-1443.
- [8]王润生,雷涛,王毅,等.面部美容注射后眼动脉及脑动脉阻塞的临床特征分析[J].中华眼底病杂志,2019,35(5):5.
- [9] 黄瑶,魏文斌. 面部注射美容的眼部血管栓塞并发症[J]. 中国医刊, 2022, 57(4): 363-366.
- [10] 中国整形美容协会微创与皮肤整形美容分会. 面部注射软组织填充剂的安全性专家共识[J]. 中华医学美学美容杂志, 2024, 30(02):91-96.
- [11]王关卉儿, 聂芳菲, 谢宏彬. A 型肉毒毒素在面部不同部位注射即刻的疼痛差异分析[J]. 中国美容整形外科杂志, 2018 (11) 008.

作者简介:马天明(1977.11),男,汉族,黑龙江哈尔滨人,医学博士(后),主任医师,主要从事中医皮肤的诊疗工作,研究方向温病理论在皮肤科上的应用

苏天慧(1999.02),男,汉族,黑龙江哈尔滨人,硕士研究生,研究方向温病理论在皮肤科上的应用黄雨桐(1997.05),男,汉族,黑龙江哈尔滨人,硕士研究生,研究方向温病理论在皮肤科上的应用